

**ГИБРИДНАЯ ИЗОТИПНАЯ  
ГЕТЕРОСТРУКТУРА  $p$ -InP- $p$ -InGaAs  
С ДИОДОМ ШОТТКИ КАК ДЕТЕКТОР  
БЛИЖНЕГО ИК ИЗЛУЧЕНИЯ И ВОДОРОДА**

*С.В. Слободчиков, Е.В. Руссу, Х.М. Салихов,  
М.М. Мередов, А.И. Язлыева*

В течение ряда лет разрабатывались и были предложены различные виды диодных структур для создания фотоприемников ближнего ИК диапазона в интервале длин волн 0.8–1.6 мкм. Из соединений  $A^{III}B^V$  для коротковолнового участка этого диапазона применялись GaAs, InP, тройные и четверные твердые растворы, а для длинноволнового — главным образом твердый раствор InGaAs. С использованием этого раствора разрабатывались фотодетекторы на основе диодов Шоттки [1], гетероструктур [2], лавинные фотодиоды [3]. Необходимость в создании фотоприемников этого диапазона в большей степени определялась разработками эффективных систем волоконно-оптической связи для диапазона волн 1.4–1.6 мкм. На протяжении ряда лет продолжаются исследования диодных структур различного типа для детектирования водорода и водородосодержащих газов. В частности, на основе предложенного нами метода по применению фотоэффекта для решения этой задачи были опробованы диодные структуры на основе InP, InGaAs, Si [4–6].

В настоящем сообщении мы приводим некоторые результаты работ по созданию и исследованию гибридной структуры с использованием изотипной гетероструктуры  $p$ -InP- $p$ -In<sub>0.53</sub>Ga<sub>0.47</sub>As и диода Шоттки для возможного использования для детектирования как ближнего ИК излучения, так и водорода.

Изотипная гетероструктура выращивалась на подложке ( $p = 10^{18}$  см<sup>-3</sup>) методом газофазной эпитаксии в хлоридной системе In-HCe-GaAs-H<sub>2</sub>. На буферный слой  $p$ -InP ( $p = 10^{17}$  см<sup>-3</sup>) наращивался слой  $p$ -In<sub>0.53</sub>Ga<sub>0.47</sub>As толщиной ~1.5 мкм с концентрацией дырок  $p = 3 \cdot 10^{16}$  см<sup>-3</sup> и их подвижностью  $\simeq 100$  см<sup>2</sup>/В·с и далее осаждался слой  $p$ -InP толщиной ~1 мкм и концентрацией дырок  $p = 1 \cdot 10^{16}$  см<sup>-3</sup>. Барьерный контакт к этому слою создавался осаждением палладия в вакууме  $\sim 1 \cdot 10^{-5}$  Тор, и его площадь и толщина

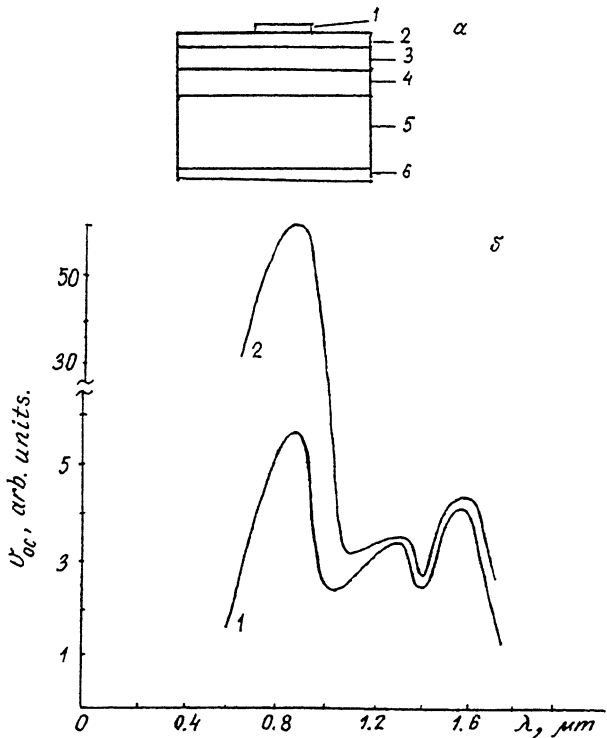


Рис. 1. Схема гибридной структуры — изотипный  $p$ -InP- $p$ -InGaAs гетеропереход с диодом Шоттки Pd- $p$ -InP (а): 1 — Pd, 2 —  $p$ -InP, 3 —  $p$ -In<sub>0.53</sub>Ga<sub>0.47</sub>As, 4 — буферный слой  $p$ -InP, 5 — подложка  $p$ -InP, 6 — омический контакт Ag + 5%Zn. Спектральная фотоэдс гибридной структуры (б): 1 — без воздействия газовой среды с водородом, 2 — под импульсным действием воздушной газовой смеси с 0.5ртH<sub>2</sub>.

составляли соответственно  $7.8 \cdot 10^{-3} \text{ см}^2$  и  $400 \text{ \AA}$ . Омический контакт со стороны подложки к  $p$ -InP создавался вакуумным осаждением сплава Ag + 5%Zn с последующим вплавлением при температуре  $420^\circ\text{C}$ . Схема структуры представлена на рис. 1, а.

Были проведены измерения спектральной фотоэдс холостого хода и влияния на нее газовой смеси с водородом, тока короткого замыкания  $I_{sc}$  в зависимости от приложенного смещения. На рис. 1, б представлены кривые спектрального распределения фотоэдс гибридной структуры и изменение его под импульсным действием воздушной газовой смеси с содержанием  $0.5 \text{ ртH}_2$ . Коротковолновая часть спектральной кривой с  $\lambda_{max} = 0.90 \text{ мкм}$  определяется вкладом фотоэдс

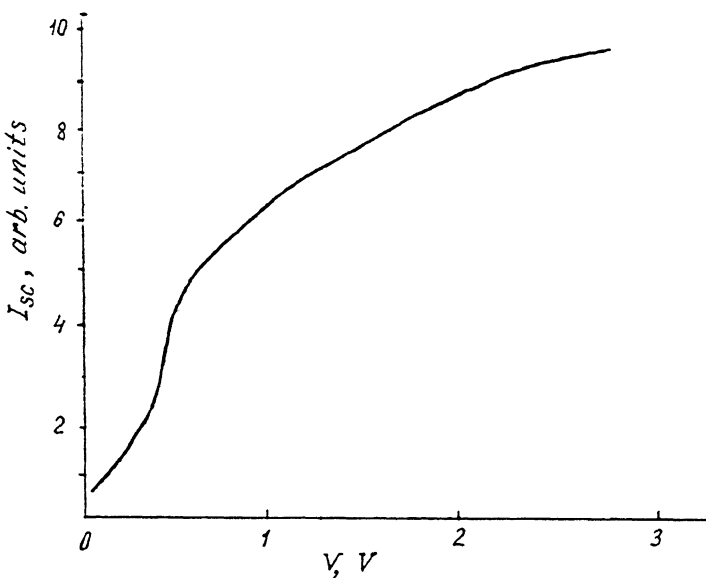


Рис. 2. Зависимость фототока от обратного смещения (+ на Pd).

диода Шоттки Pd–p–InP; более длинноволновая содержит основной максимум при  $\lambda_{\max} = 1.55$  мкм и дополнительный при  $\lambda_{\max} = 1.35$  мкм, которые связаны с межзонными переходами в InGaAs и переходами InP–InGaAS с разделением электронно-дырочных пар на гетерогранице. Основное изменение (увеличение) фотоэдс под влиянием H<sub>2</sub> приходится, как и следовало ожидать, на область фотоответа диода Шоттки с  $\lambda_{\max} = 0.90$  мкм и составляет 7–10 раз. Уменьшение обратного тока структуры (+ на Pd) составляло при этом 5–7 раз. Поскольку, как известно,

$$V_{oc} \approx \frac{n k T}{q} \ln \left( \frac{I_{sc}}{I_0} + 1 \right), \quad (1)$$

где  $n$  — коэффициент неидеальности,  $I_0$  — темновой ток насыщения, то можно предположить, что, помимо снижения темнового тока  $I_0$  вследствие роста барьера Шоттки  $\varphi_b = \frac{n k T}{q} \ln \left( \frac{A^* T^2}{I_0} \right)$ , дополнительный вклад вносит  $I_{sc}$ , определяемый неосновными носителями, электронами. Возрастание  $V_{oc}$  под действием H<sub>2</sub> практически безынерционно, спад же достигал ~3 мин, а время релаксации обратного темнового тока могло составлять, в зависимости от приложенного смещения, до 10 мин. Данные о причинах и механизме такой релаксации будут опубликованы позднее.

Фоточувствительность в обоих основных максимумах не очень сильно различается между собой, составляя в отдельных образцах при  $\lambda_{\max}^{0.90}$  порядка  $6 \cdot 10^{-2} A/W$  и  $\lambda_{\max}^{1.55} - (2-4) \cdot 10^{-2} A/W$ . Измерения зависимости тока короткого замыкания  $I_{sc}$  при освещении монохроматическим светом с  $\lambda_{\max} = 1.55$  мкм от обратного смещения показали наличие усиления фототока (рис. 2), достигающее, например, при 3 В величины  $G = 30$ . Эффект усиления наблюдался также в [7]. Лишь очень слабое усиление имело место при освещении монохроматическим светом с  $\lambda_{\max} = 0.90$  мкм. Предварительные оценки показывают, что усиление фототока в данной гетероструктуре может быть связано либо с модуляцией светом высоты барьера у гетерограницы, либо с "пролетным" эффектом, когда время жизни  $\tau_p$  существенно превышает время пролета  $t$ , либо и с тем и другим вместе. Изменение проводимости при освещении с учетом обоих эффектов, полагая, что дырочная компонента вносит основной вклад в фототок, может быть представлено [8]

$$\Delta\sigma = q\mu^* \Delta p - q^2 \frac{\Delta\psi}{kT} \exp\left(-\frac{q\psi}{kT}\right), \quad (2)$$

где  $\psi$  — высота моделируемого барьера у гетерограницы, а  $\mu^* = \mu_0 \exp\left(-\frac{q\psi}{kT}\right)$ . Тогда коэффициент усиления

$$G = (1 + B) \frac{\tau_p}{t}, \quad \text{где} \quad B = \frac{\Delta\mu^*/\mu^*}{\Delta p/p}, \quad (3)$$

учитывает влияние модуляции барьера на величину усиления. Крутой рост  $G$  на рис. 2 до  $V = 1$  В можно связать с модуляцией высоты барьера, т. е.  $B \gg 0$ ; данные работы [7] также могут быть согласованы с этим выводом. В нашем случае при  $V > 1$  В в связи с уменьшением времени пролета все возрастающий вклад вносит "пролетный" эффект. Поскольку уровень шумов, как показали измерения, с ростом смещения оставался постоянным, то чувствительность структуры как фотодетектора в режиме усиления в интервале длин волн 1.4–1.6 мкм возрастила более чем на порядок величины. Хотя пороговая чувствительность при детектировании как водорода при  $\lambda_{\max} = 0.90$  мкм, так и ИК излучения в интервале 1.4–1.6 мкм важна в обоих случаях, следует, однако, отметить, что для решения первой задачи во многих практических применениях требования могут быть менее жесткими. В таких случаях нет необходимости измерять предельно низкие концентрации газа. В решении же практических задач, связанных с регистрацией ИК излучения 1.4–1.6 мкм, предельная пороговая чувствительность

имеет решающее значение. Для повышения эффективности детектирования, безусловно, необходима оптимизация конструкции как в отношении толщины слоя палладия, так и толщины и электрических характеристик слоев  $p$ -InP и  $p$ - $In_{0.53}Ga_{0.47}As$ . Исследованные гибридные структуры на основе изотипных  $p$ -InP- $p$ -InGaAs гетеропереходов с барьером Шоттки с палладиевым контактом представляют интерес для решения двойкой задачи — детектирования водорода и ближнего ИК излучения.

### Список литературы

- [1] Kim J.-H., Li S.S., Figeroa L., Carruthers T.F., Wagner R.S. // Electron Lett. 1988. V. 24. N 17. P. 1067.
- [2] Chandrasekhar S., Campbell J.C., Dentai A.G., Toyner C.H., Qua G.J., Cuancck A.H., Feuer M.D. // Electron Lett. 1988. V. 24. N 23. P. 1443.
- [3] Gershoni D., Temkin H., Panish M.B. // Appl. Phys. Lett. 1988. V. 53. N 14. P. 1294.
- [4] Ковалевская Г.Г., Кратена Л., Мередов М.М., Маринова А.М., Слободчиков С.В. // Письма в ЖТФ. 1989. Т. 15. В. 12. С. 55.
- [5] Слободчиков С.В., Ковалевская Г.Г., Мередов М.М., Пенцов А.В., Руссу Е.В., Салихов Х.М. // Письма в ЖТФ. 1991. Т. 17. В. 15. С. 1.
- [6] Ковалевская Г.Г., Мередов М.М., Руссу Е.В., Салихов Х.М., Слободчиков С.В. // ЖТФ. 1993. Т. 63. В. 2. С. 185.
- [7] Takeda J., Takigawa S., Kondo M., Sasaki A. // Jap. J. Appl. Phys. 1984. V. 23. N 1. Part I. P. 84.
- [8] Petritz R.L. // Phys. Rev. 1956. V. 104. P. 1508.

Поступило в Редакцию  
30 июня 1995 г.

---